

## بررسی روند دمای ایران در نیم سده گذشته

دکتر سید ابوالفضل مسعودیان\* - استادیار گروه جغرافیا، دانشگاه اصفهان

دریافت مقاله: ۸۳/۳/۱۷

تأیید نهایی: ۸۳/۹/۲

### چکیده

ایران در کمربند خشک عرض میانه قرار گرفته است. میانگین دمای آن حدود ۱۸ درجه سلسیوس است. دمای ایران در نیم سده گذشته روند های مثبت و منفی داشته است. برای ارزیابی این روند ها، داده های دمای ماهانه ایران (دمای شبانه، روزانه و شبانه روزی) از ژانویه ۱۹۵۱ تا دسامبر ۲۰۰۰ بررسی شد. به کمک این پایگاه داده، نقشه های همدماهی ماهانه کشور با اندازه یاخته<sup>۱</sup> ۱۵×۱۵ کیلومتر و روش کریگینگ محاسبه شد. به این ترتیب هر نقشه شامل ۷,۲۳۸ یاخته بر روی ایران است. برای تعیین روند دمای شبانه، روزانه و شبانه روزی روی تک تک یاخته های نقشه های همدما، برای هر ماه به طور جداگانه یک مدل رگرسیون به روش حداقل مربعات پیدا شد.

تحلیل روند دما نشان داد که در نیم سده گذشته دمای شبانه، روزانه و شبانه روزی ایران به ترتیب با آهنگ حدود سه، یک و دو درجه در هر صد سال افزایش داشته است. روندهای افزایش دما عمدتاً در سرزمین های گرم و کم ارتفاع و روندهای کاهشی عمدتاً در رشته کوه ها دیده می شوند.

وازگان کلیدی: تحلیل روند، ایران، دما، میانیابی.

### مقدمه

از آنجا که دما از عناصر اساسی شکل گیری اقلیم است، تغییرات آن می تواند ساختار آب و هوایی هر محل را دگرگون سازد. به همین دلیل است که بررسی روند دما در مقیاس های مختلف زمانی و مکانی بخش بزرگی از ادبیات و اقلیم شناسی را به خود اختصاص داده است. بررسی های پژوهشگران نشان داده که در اکثر نقاط جهان دما طی سده گذشته رو به افزایش بوده است. نیدزویدز و همکاران (۱۹۹۶، ص ۷۷۰) روند دمای روزانه<sup>۲</sup> و شبانه<sup>۳</sup> را در مرکز و جنوبی شرق اروپا بررسی کرده اند. گریزر و همکاران (۲۰۰۲، ص ۱۷۵) صد سال دمای اروپا را بررسی کرده و نشان داده اند که در غرب اروپا

\* E-mail: porcista@geog.ui.ac.ir

<sup>۱</sup> - pixel

<sup>۲</sup> - Maximum

<sup>۳</sup> - Minimum

چرخه دمای سالانه عقب و در شرق اروپا جلو افتاده است. در شرق اروپا نوسان سالانه دما افزایش معناداری را نشان می‌دهد و تقریباً در سراسر منطقه دما روند افزایشی داشته است. رویدادهای فرین<sup>۱</sup> عمدها شامل رخدادهای سردی بوده که در زمستان ۷/۷ روی داده و تعداد آنها رو به افزایش بوده است. ایشان نشان داده اند که در مرکز و شمال اروپا دما دارای دوره تناوب ساله است. کاس و همکاران (۱۹۹۵، ص ۲۱۵) با بررسی دامنه دمای روزانه و ابرناکی در کشورهای شمالی، مدل‌های روند دمای این منطقه را معرفی کرده و به کمک آن دمای آینده منطقه را پیش‌بینی نموده اند. کوتیاری و همکاران (۱۹۹۶، ص ۳۶۱) روند بارش و دما در هند را مطالعه کرده اند. بین (۱۹۹۹، ص ۲۳۲) ناهنجاری‌های دمای زمستانی دشت‌های شمال چین را بررسی کرده و ارتباط آن را با الگوهای کلان جریان‌های جوی در بروون حاره نشان داده است. ژانگ و همکاران (۱۹۹۵، ص ۲۰۰۰) به شناسایی مدل‌های روند دما و بارش در کانادا طی قرن بیستم پرداخته اند. سالینگر (۱۹۹۵، ص ۹۰) روند دمای شباهنگی و روزانه را در منطقه جنوب‌غرب اقیانوس آرام تایید کرده است. پرزبیلاک (۲۰۰۰، ص ۵۶۱) با استفاده از داده‌های ایستگاه‌های اندازه‌گیری از آغاز ثبت داده‌های هواسنجی در شمالگان، تغییرات زمانی و مکانی دمای سطحی این منطقه را بررسی کرده است. آناته و همکاران (۱۹۹۶، ص ۸۰۸) تغییرات دمای اسپانیا در سده گذشته را تشریح کرده اند. ماهراس و همکاران (۱۹۹۹، ص ۱۷۰۲) با استفاده از چهل سال آمار، ناهنجاری‌های دمای ماهانه حوضه مدیترانه را بررسی و ارتباط آن را با گردش‌های جوی نشان داده اند.

یو و همکاران (۲۰۰۳، ص ۱۷) روند دمای ماهانه، فصلی و سالانه ژاپن در صد سال گذشته را بررسی کرده و نشان داده اند که دمای سالانه ۴۶ ایستگاه که روند آنها با آزمون مان کندا ارزیابی شده در فاصله سال‌های ۱۹۹۶ تا ۱۹۰۰ بین ۰/۵۱ تا ۲/۷۷ درجه سلسیوس افزایش یافته است. در همین دوره دمای فصلی بین ۳/۶۹ تا ۰/۴۷ درجه سلسیوس افزایش داشته که بیشترین افزایش در فصل زمستان و بهار دیده شده است. همین ویژگی در دمای ماهانه هم دیده می‌شود، اما مقدار افزایش دمای ماهانه طی دوره مورد بررسی بین ۰/۱۷ تا ۴/۱۲ درجه سلسیوس بوده است.

استافورد و همکاران (۲۰۰۰، ص ۳۶) دمای شباهنگی، روزانه، شباهنگی و دامنه نوسان دمای ۲۵ ایستگاه هواسنجی آلاسکا را به روش رگرسیون حداقل مربعات در فاصله سال‌های ۱۹۴۹ تا ۱۹۹۸ بررسی کرده اند. این بررسی نشان می‌دهد که در تمام ایستگاه‌ها دما روند افزایشی داشته و بیشترین افزایش در زمستان و در میانه آلاسکا به میزان ۲/۰ درجه سلسیوس در پنجاه ساله مورد بررسی، مشاهده شده است. در نتیجه دامنه نوسان دما در همین دوره حدود ۳/۰ درجه سلسیوس کاهش یافته است.

چانگ و همکاران (۲۰۰۰، ص ۱۷۴) دمای سالانه شبیه جزیره کره را در فاصله سال‌های ۱۹۷۴ تا ۱۹۹۷ بررسی کرده اند. ایشان نشان داده اند که دمای منطقه طی این دوره ۰/۹۶ درجه سلسیوس افزایش یافته است. این افزایش در مناطق شهری ۱/۵ و در مناطق روستایی ۰/۵۸ درجه سلسیوس بوده است. مقدار افزایش در زمستان بیش از دیگر فصول گزارش شده است.

<sup>۱</sup> - extremes

### داده ها و روش شناسی

برای ارزیابی روند دما در ایران داده های دمای ماهانه شباهن (دمای کمینه)، روزانه (دمای بیشینه) و شباهن روزی (دمای میانگین) ایستگاه های سینوپتیک و کلیماتولوژی از ژانویه ۱۹۵۱ تا دسامبر ۲۰۰۰ گردآوری شد. این پایگاه داده شامل حدود ۴۱۴۰۰۰ ماه ایستگاه دیده بانی دماس است. به کمک این پایگاه داده نقشه های همدما ایران (دمای شباهن، روزانه و شباهن روزی) از ژانویه ۱۹۵۱ تا دسامبر ۲۰۰۰ به روش میانیابی کریگینگ بدست آمد. با توجه به این که تفکیک مکانی هر یک از این ۱۸۰۰ نقشه همدما  $15 \times 15$  کیلومتر است، هر کدام شامل ۷/۲۳۸ یاخته در مرزهای ایران زمین هستند. به این ترتیب سری زمانی دما برای همه این یاخته ها طی نیم سده گذشته برآورد شد. سپس این برآوردها مبنای داوری درباره روند دما در هر یک از یاخته ها قرار گرفت.

آزمون های روند به دو دسته پارامتری و ناپارامتری دسته بندی می شوند. پیش فرض آزمون های پارامتری آن است که داده ها تصادفی و برآمدهای یک توزیع نرمال باشند. در عین حال فرض نرمال بودن داده ها در آزمون های ناپارامتری وجود ندارد. بنابراین در صورتی که به نرمال بودن داده ها اطمینان نداریم، بکارگیری آزمون های ناپارامتری محتاطانه تر بنظر می رسد. با این حال برخی محققان نشان داده اند که تفاوت نتایج دو روش در مورد بسیاری از عناصر اقلیمی معنادار نیست (وینیکف، ۲۰۰۲، ص ۱۴۱).

در اینجا برای انجام آزمون روند دما فرض می کنیم که دما تابعی خطی از زمان است. بنابراین، مدل تغییرات به صورت زیر خواهد بود:

$$\text{Temperature} = \alpha + \beta \text{ Time}$$

روشن است که یک مقدار مثبت برای  $\beta$  نشانگر افزایش دما با زمان و یک مقدار منفی برای  $\beta$  نشانگر کاهش دما با زمان است. برای  $\beta = 0$  فرض وجود روند تایید نمی شود. اما از آنجا که مقدار  $\beta$  نامعلوم است، یک برآورد از  $\beta$  با اطمینان ۹۵ درصد از رابطه زیر بدست می آید (برای جزئیات نگاه کنید به باتاچاریا و همکاران ۱۹۷۷، ص ۴۲۰):

$$\hat{\beta} = \pm_{0.025} \frac{S}{t}$$

اگر حد بالا و پایین  $\beta$  که به این ترتیب بدست می آید هر دو مثبت باشند، فرض وجود روند افزایشی در دما را رد نمی کنیم. اگر حد بالا و پایین  $\beta$  هر دو منفی باشند، فرض وجود روند کاهشی در دما را رد نمی کنیم و اگر حد بالا و پایین مختلف العلامه باشند فرض وجود روند را تایید نمی کنیم. انجام این آزمون بر روی سری زمانی بارش هر یک از ۷/۲۳۸ یاخته برای هر یک از ماه های سال جداگانه انجام شد و نقشه روند ترسیم گردید. این نقشه ها نشان می دهند که در هر ماه کدام بخش های کشور با ۹۵ درصد اطمینان طی نیم سده گذشته روند کاهشی یا افزایشی داشته و کدام بخش ها روند نشان نمی دهند. سپس مساحت نواحی دارای روند و بدون روند و میانگین روند بر روی آنها برای هر یک از ماه ها محاسبه شده است. همه این محاسبات به لطف بهره گیری از اصول سیستم های اطلاعات جغرافیایی و جبر نقشه ها در مطالعات اقلیمی امکان پذیر

شده است. روی آوردن به مطالعات کمی و متکی بر اصول سیستم‌های اطلاعات جغرافیایی، دریچه‌های نوینی را فرا روى اقلیم شناسان باز کرده و آنان را در شناسایی و تفسیر الگوهای زمانی و مکانی عناصر و عوامل اقلیمی بسیار توana ساخته است.

### بحث و نتیجه‌گیری

دماه شبانه، نتیجه ترازمندی تابش‌های خروجی و دماه روزانه، نتیجه ترازمندی تابش‌های ورودی است. از سوی دیگر، گازهای گلخانه‌ای مانند بخار آب و دی اکسید کربن از عوامل اساسی مؤثر بر ترازمندی تابش‌های خروجی هستند؛ در حالی که تابش‌های ورودی به ویژگی‌های تابشی جو از جمله به شفافیت جو بستگی دارد. بنابر این دماه شبانه و دماه روزانه از عوامل متفاوتی تاثیر می‌پذیرند و ممکن است رفتار روند آنها با یکدیگر متفاوت باشد. گزارش‌های پژوهشگران نیز نشان می‌دهد که عموماً روند دماه شبانه و روزانه با هم تفاوت داشته و در غالب موارد آهنگ افزایش دماه شبانه بزرگتر از آهنگ افزایش دماه روزانه بوده است (نیدزویدز و همکاران ۱۹۹۶، ص ۷۷۵). بررسی دماه شبانه ایران نشان می‌دهد که به طور متوسط در ۴۶ درصد از مساحت کشور افزایش دماه شبانه در فاصله اطمینان ۹۵ درصد تایید می‌شود. در عین حال حدود ۱۸ درصد از مساحت کشور نیز در نیم سده گذشته کاهش دماه شبانه را تایید می‌کند (جدول شماره ۱). در ماه‌های گرم سال بخش‌های وسیع تری از ایران افزایش دماه شبانه را نشان می‌دهد (نقشه شماره ۵ و ۶). در ماه ژوئن وسعت مناطقی که دماه شبانه آنها روند افزایشی داشته به بیشترین مقدار می‌رسد؛ اما شدیدترین آهنگ افزایش دماه شبانه در ماه اوت و نوامبر دیده می‌شود. در این دو ماه آهنگ افزایش دماه شبانه ۵ درجه سلسیوس در هر صد سال بوده است (جدول شماره ۴ و نمودار شماره ۲). بر عکس در ماه فوریه دماه شبانه تغییری نداشته و در ماه مارس آهنگ کاهشی ضعیفی (یک درجه در هر صد سال) را نشان می‌دهد (جدول شماره ۴). در مجموع، دماه شبانه ایران در نیم سده گذشته با آهنگ سه درجه در هر صد سال افزایش یافته است. این بدان معناست که دماه شبانه ایران در حال حاضر نسبت به پنجاه سال پیش در مجموع ۱/۵ درجه بیشتر شده است. بررسی نقشه‌های روند (نقشه شماره ۵ و ۶) روشن می‌سازد که افزایش دماه شبانه در همه جای ایران مگر در کمرندهای کوهستانی رخ داده است. در کمرندهای کوهستانی دماه شبانه روند کاهشی داشته است. بنابر این بنظر می‌رسد که مناطق گرم ایران در ماه‌های گرم، شب‌های گرم تری را تجربه می‌کنند و در مناطق سرد در ماه‌های سرد دماه شبانه یا اندکی کاهش یافته و یا تقریباً بدون تغییر مانده است.

دماه روزانه ایران نیز الگوی مشابهی را نشان می‌دهد. با این حال هم از جهت وسعت و هم از لحاظ شدت نسبت به دماه شبانه ضعیف‌تر است. به طور متوسط حدود ۳۵ درصد از کشور افزایش دماه روزانه و نزدیک ۱۸ درصد کاهش دماه روزانه را تجربه کرده‌اند (جدول شماره ۹). در ماه آوریل بیشترین مساحت کشور با افزایش دماه روزانه همراه بوده است (حدود ۵۳ درصد). در همین ماه شدیدترین آهنگ افزایش دماه روزانه نیز دیده می‌شود که حدود ۴ درجه سلسیوس در هر صد سال است (جدول شماره ۱۲ و نمودار شماره ۱). در ماه‌های سرد یا روند دیده نمی‌شود و یا روند دما کاهشی بوده است. در مجموع دماه روزانه ایران با آهنگ یک درجه در هر صد سال رو به افزایش بوده است (جدول شماره ۱۲). در مقایسه با آهنگ افزایش دماه شبانه روشن می‌شود که روند‌های افزایشی دماه شبانه سه بار قوی‌تر از آهنگ افزایش دماه روزانه

بوده است. نتیجه آن که افزایش دمای ایران در نیم سده گذشته معمول عواملی بوده که خروج تابش های بلند زمینی را کنترل می کرده است. در عین حال این افزایش همانند دمای شبانه عمدها در مناطق غیر کوهستانی دیده می شود و روی کمریندهای کوهستانی کشور روند کاهش دما ملاحظه می گردد و (نقشه شماره ۱ و ۲).

روند دمای شبانه روزی (دمای میانگین) نماینده متوسط روند دمای شبانه و دمای روزانه است. همان الگوهای مکانی و زمانی که در روند دمای شبانه و دمای روزانه دیده شد، در دمای شبانه روزی هم وجود دارد. به بیان دیگر، افزایش دما بیشتر در ماه های گرم و در مناطق گرم کشور رخ داده است. در این صورت بنظر می رسد که طی نیم سده گذشته دامنه تغییرات دما در ایران بالاتر رفته باشد و تباين حرارتی مناطق مختلف کشور نیز با افزایش همراه بوده باشد. دمای شبانه روزی روی حدود ۴۴ درصد کشور روند افزایشی و روی حدود ۱۹ درصد کشور روند کاهشی داشته است. در ژوئن وسعت قلمروهایی که روند افزایشی نشان می دهند از همه ماه های دیگر بیشتر بوده و به حدود ۵۷ درصد می رسد. با این حال شدیدترین روند افزایش دما در ماه آوریل دیده می شود که آهنگ ۴ درجه در هر صد سال را نشان می دهد. در فوریه و مارس دمای شبانه روزی ایران کاهش یافته است. آهنگ کاهش دما در این دو ماه به ترتیب یک و دو درجه در هر صد سال بوده است. در مجموع دمای شبانه روزی ایران دو درجه در هر صد سال افزایش داشته است. به بیان دیگر دمای شبانه روزی ایران در حال حاضر یک درجه گرم تراز پنجاه سال پیش شده است. بنابر این افزایش دمای ایران نسبت به میانگین گرمایش جهانی نزدیک دو برابر است. با توجه به این که با افزایش هر یک درجه، مرز برف های دائمی در ایران حدود ۱۶۰ متر بالاتر می رود، بنظر می رسد روند افزایش دما در ایران با محدودتر شدن انباره های آبی کشور همراه باشد. با توجه به این واقعیت که بارش ایران در مجموع متتمرکز است و در سراسر سال توزیع نشده است، کاهش وسعت انباره های آبی به معنای تشدید کم آبی در ماه های گرم و بدون بارش خواهد بود. از مجموعه بررسی ها چنین بنظر می آید که آب و هوای ایران رو به سوی اقلیمی گرم تر و کم بارش تر در حرکت است.

جدول ۱- درصد مساحت روند دمای شبانه در ایران

	ژانویه	فوریه	مارس	آوریل	می	ژوئن	ژوئیه	اوت	سپتامبر	اکتبر	نوامبر	دسامبر	سالانه
افزایشی	۳۱,۶	۲۲,۷	۲۳,۸	۵۰,۹	۵۲,۴	۵۶,۲	۵۵,۶	۵۸,۴	۵۳,۷	۵۰,۶	۵۵,۳	۴,۴۶	۵,۴۶
بی روند	۵۲,۵	۵۴,۳	۴۴,۱	۳۰,۴	۲۵,۴	۲۵,۴	۲۷,۵	۲۸,۱	۲۷,۵	۳۱,۵	۳۳,۳	۴۵,۱	۳۵,۴
کاهشی	۱۵,۹	۲۳,۰	۳۲,۱	۱۸,۷	۲۲,۲	۱۸,۴	۱۶,۹	۱۳,۵	۱۸,۸	۱۷,۹	۱۱,۴	۸,۵	۱۸,۱

جدول ۲- ویژگی های آهنگ روندهای کاهشی دمای شبانه بر حسب درجه سلسیوس در سال

	ژانویه	فوریه	مارس	آوریل	می	ژوئن	ژوئیه	اوت	سپتامبر	اکتبر	نوامبر	دسامبر	سالانه
بیشترین	-۰,۳۱	-۰,۳۰	-۰,۲۵	-۰,۲۱	-۰,۲۴	-۰,۲۵	-۰,۲۵	-۰,۲۵	-۰,۲۸	-۰,۲۸	-۰,۲۳	-۰,۲۴	-۰,۲۶
کمترین	-۰,۰۳	-۰,۰۳	-۰,۰۲	-۰,۰۲	-۰,۰۲	-۰,۰۲	-۰,۰۲	-۰,۰۲	-۰,۰۲	-۰,۰۲	-۰,۰۳	-۰,۰۳	-۰,۰۲
میانگین	-۰,۰۸	-۰,۰۸	-۰,۰۷	-۰,۰۶	-۰,۰۶	-۰,۰۷	-۰,۰۶	-۰,۰۷	-۰,۰۷	-۰,۰۶	-۰,۰۶	-۰,۰۶	-۰,۰۷

جدول ۳- ویژگی های آهنگ روندهای افزایشی دمای شبانه بر حسب درجه سلسیوس در سال

	ژانویه	فوریه	مارس	آوریل	مای	ژوئن	ژوئیه	اوت	سپتامبر	اکتبر	نوامبر	دسامبر	سالانه
کمترین	۰,۰۳	۰,۰۳	۰,۰۲	۰,۰۲	۰,۰۲	۰,۰۲	۰,۰۲	۰,۰۲	۰,۰۲	۰,۰۳	۰,۰۲	۰,۰۳	۰,۰۲
بیشترین	۰,۲۲	۰,۱۹	۰,۱۵	۰,۱۷	۰,۲۳	۰,۲۵	۰,۲۳	۰,۲۳	۰,۲۴	۰,۲۲	۰,۲۲	۰,۲۲	۰,۲۰
میانگین	۰,۰۸	۰,۰۸	۰,۰۶	۰,۰۸	۰,۰۹	۰,۰۹	۰,۰۹	۰,۱۰	۰,۱۰	۰,۱۰	۰,۱۰	۰,۰۸	۰,۰۹

جدول ۴- آهنگ تغییرات دمای شبانه ایران بر حسب درجه سلسیوس در سال

	ژانویه	فوریه	مارس	آوریل	مای	ژوئن	ژوئیه	اوت	سپتامبر	اکتبر	نوامبر	دسامبر	سالانه
میانگین روند	۰,۰۱	۰,۰۰	-۰,۰۱	۰,۰۳	۰,۰۳	۰,۰۴	۰,۰۴	۰,۰۵	۰,۰۴	۰,۰۴	۰,۰۵	۰,۰۳	۰,۰۳

جدول ۵- درصد مساحت روند دمای شبانه روزی در ایران

	ژانویه	فوریه	مارس	آوریل	مای	ژوئن	ژوئیه	اوت	سپتامبر	اکتبر	نوامبر	دسامبر	سالانه
افزایشی	۲۴,۱	۱۵,۲	۱۵,۱	۵۴,۶	۵۱,۳	۵۷,۲	۵۴,۷	۵۵,۵	۵۳,۰	۴۶,۰	۵۲,۸	۴۴,۳	۴۳,۶
بی روند	۶۱,۵	۶۱,۴	۵۰,۳	۳۵,۱	۲۷,۸	۲۲,۸	۲۴,۲	۲۸,۵	۲۴,۵	۲۹,۷	۳۶,۶	۵۰,۸	۳۷,۸
کاهشی	۱۴,۴	۲۳,۴	۳۴,۶	۱۰,۳	۲۰,۹	۲۰,۰	۲۱,۱	۱۶,۰	۲۲,۵	۲۴,۳	۱۰,۶	۴,۹	۱۸,۶

جدول ۶- ویژگی های آهنگ روندهای کاهشی دمای شبانه روزی بر حسب درجه سلسیوس در سال

	ژانویه	فوریه	مارس	آوریل	مای	ژوئن	ژوئیه	اوت	سپتامبر	اکتبر	نوامبر	دسامبر	سالانه
بیشترین	-۰,۲۵	-۰,۲۵	-۰,۲۳	-۰,۱۸	-۰,۱۹	-۰,۱۸	-۰,۱۷	-۰,۱۷	-۰,۱۹	-۰,۲۰	-۰,۱۷	-۰,۱۹	-۰,۲۰
کمترین	-۰,۰۳	-۰,۰۳	-۰,۰۳	-۰,۰۳	-۰,۰۲	-۰,۰۲	-۰,۰۲	-۰,۰۲	-۰,۰۱	-۰,۰۲	-۰,۰۲	-۰,۰۳	-۰,۰۲
میانگین	-۰,۰۷	-۰,۰۸	-۰,۰۷	-۰,۰۶	-۰,۰۶	-۰,۰۶	-۰,۰۶	-۰,۰۶	-۰,۰۵	-۰,۰۶	-۰,۰۵	-۰,۰۶	-۰,۰۶

جدول ۷- ویژگی های آهنگ روندهای افزایشی دمای شبانه روزی بر حسب درجه سلسیوس در سال

	ژانویه	فوریه	مارس	آوریل	مای	ژوئن	ژوئیه	اوت	سپتامبر	اکتبر	نوامبر	دسامبر	سالانه
کمترین	۰,۰۳	۰,۰۳	۰,۰۳	۰,۰۳	۰,۰۲	۰,۰۲	۰,۰۲	۰,۰۲	۰,۰۱	۰,۰۲	۰,۰۲	۰,۰۳	۰,۰۲
بیشترین	۰,۱۶	۰,۱۳	۰,۱۴	۰,۲۱	۰,۲۴	۰,۲۳	۰,۲۴	۰,۲۴	۰,۲۲	۰,۲۰	۰,۱۹	۰,۱۷	۰,۲۰
میانگین	۰,۰۸	۰,۰۷	۰,۰۶	۰,۰۸	۰,۰۸	۰,۰۸	۰,۰۸	۰,۰۸	۰,۰۸	۰,۰۸	۰,۰۸	۰,۰۸	۰,۰۸

جدول ۸- آهنگ تغییرات دمای شبانه روزی ایران بر حسب درجه سلسیوس در سال

	ژانویه	فوریه	مارس	آوریل	مای	ژوئن	ژوئیه	اوت	سپتامبر	اکتبر	نوامبر	دسامبر	سالانه
میانگین روند	۰,۰۱	-۰,۰۱	-۰,۰۲	۰,۰۴	۰,۰۳	۰,۰۳	۰,۰۳	۰,۰۳	۰,۰۳	۰,۰۲	۰,۰۴	۰,۰۳	۰,۰۲

جدول ۹- درصد مساحت روند دمای روزانه در ایران

	ژانویه	فوریه	مارس	آوریل	می	ژوئن	ژوئیه	اوت	سپتامبر	اکتبر	نوامبر	دسامبر	سالانه
افزایشی	۱۳,۷	۱۰,۲	۶,۹	۵۳,۲	۴۶,۰	۵۰,۸	۴۶,۷	۴۵,۱	۴۲,۴	۳۰,۸	۴۰,۱	۳۳,۳	۳۴,۹
بی روند	۷۲,۶	۶۷,۱	۶۱,۶	۳۹,۴	۳۸,۸	۳۰,۱	۲۹,۷	۳۶,۱	۳۴,۴	۴۲,۵	۵۲,۵	۶۴,۰	۴۷,۴
کاهشی	۱۳,۷	۲۲,۷	۳۱,۵	۷,۴	۱۵,۲	۱۹,۱	۲۳,۶	۱۸,۸	۲۳,۲	۲۶,۷	۷,۴	۲,۷	۱۷,۷

جدول ۱۰- ویژگی های آهنگ روندهای کاهشی دمای روزانه بر حسب درجه سلسیوس در سال

	ژانویه	فوریه	مارس	آوریل	می	ژوئن	ژوئیه	اوت	سپتامبر	اکتبر	نوامبر	دسامبر	سالانه
بیشترین	-۰,۲۱	-۰,۲۴	-۰,۲۶	-۰,۲۳	-۰,۲۲	-۰,۲۱	-۰,۱۹	-۰,۱۸	-۰,۱۸	-۰,۲۱	-۰,۱۸	-۰,۱۷	-۰,۲۱
کمترین	-۰,۰۴	-۰,۰۴	-۰,۰۳	-۰,۰۴	-۰,۰۳	-۰,۰۲	-۰,۰۲	-۰,۰۲	-۰,۰۲	-۰,۰۲	-۰,۰۴	-۰,۰۵	-۰,۰۳
میانگین	-۰,۰۸	-۰,۰۹	-۰,۰۸	-۰,۰۸	-۰,۰۷	-۰,۰۶	-۰,۰۶	-۰,۰۶	-۰,۰۶	-۰,۰۷	-۰,۰۷	-۰,۰۸	-۰,۰۷

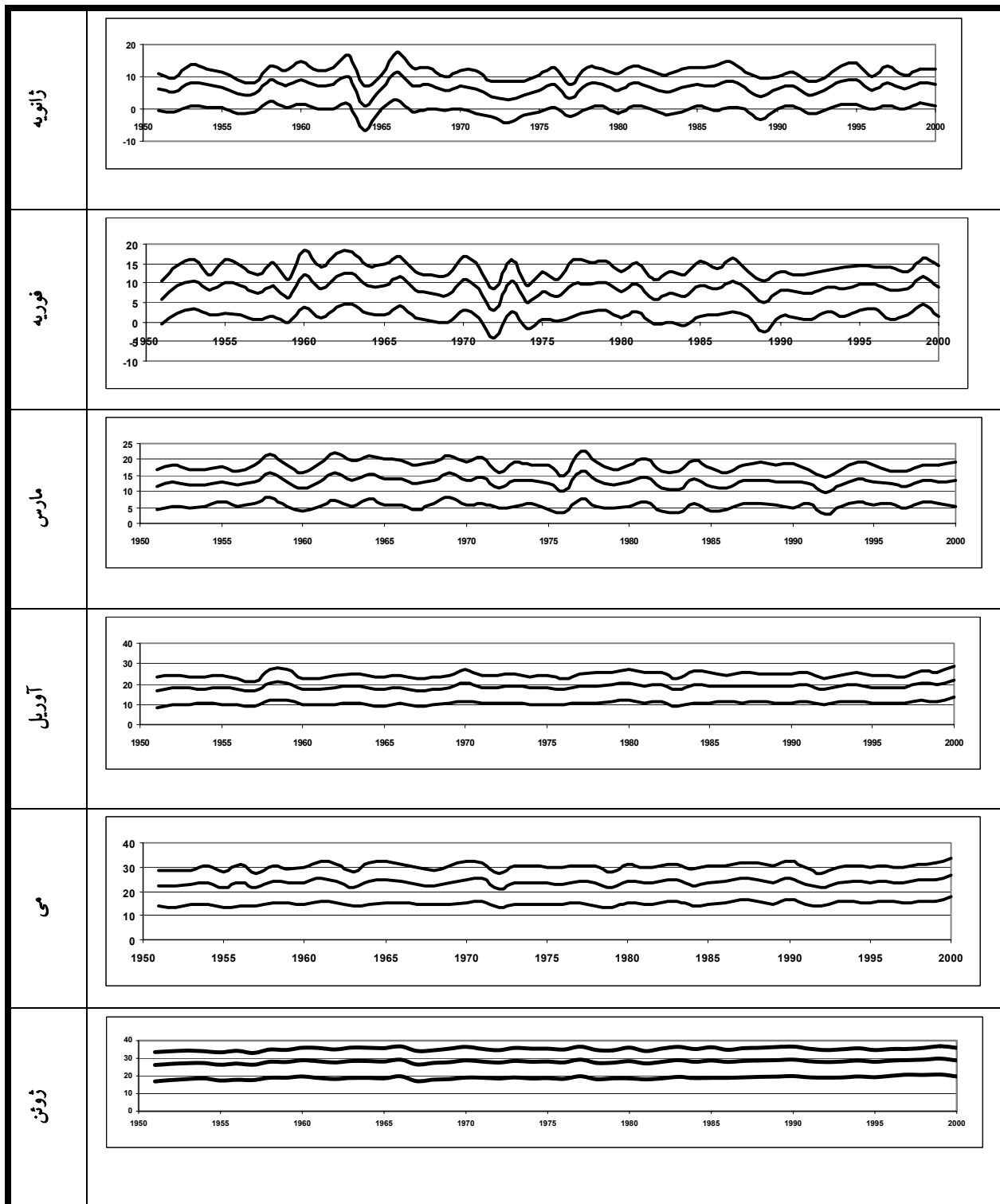
جدول ۱۱- ویژگی های آهنگ روندهای افزایشی دمای روزانه بر حسب درجه سلسیوس در سال

	ژانویه	فوریه	مارس	آوریل	می	ژوئن	ژوئیه	اوت	سپتامبر	اکتبر	نوامبر	دسامبر	سالانه
کمترین	۰,۰۴	۰,۰۴	۰,۰۴	۰,۰۳	۰,۰۳	۰,۰۲	۰,۰۲	۰,۰۲	۰,۰۲	۰,۰۲	۰,۰۳	۰,۰۴	۰,۰۳
بیشترین	۰,۱۶	۰,۱۶	۰,۱۷	۰,۲۶	۰,۲۸	۰,۲۷	۰,۲۷	۰,۲۶	۰,۲۵	۰,۲۲	۰,۲۲	۰,۱۹	۰,۲۳
میانگین	۰,۰۸	۰,۰۷	۰,۰۷	۰,۰۸	۰,۰۹	۰,۰۸	۰,۰۷	۰,۰۷	۰,۰۷	۰,۰۷	۰,۰۸	۰,۰۸	۰,۰۸

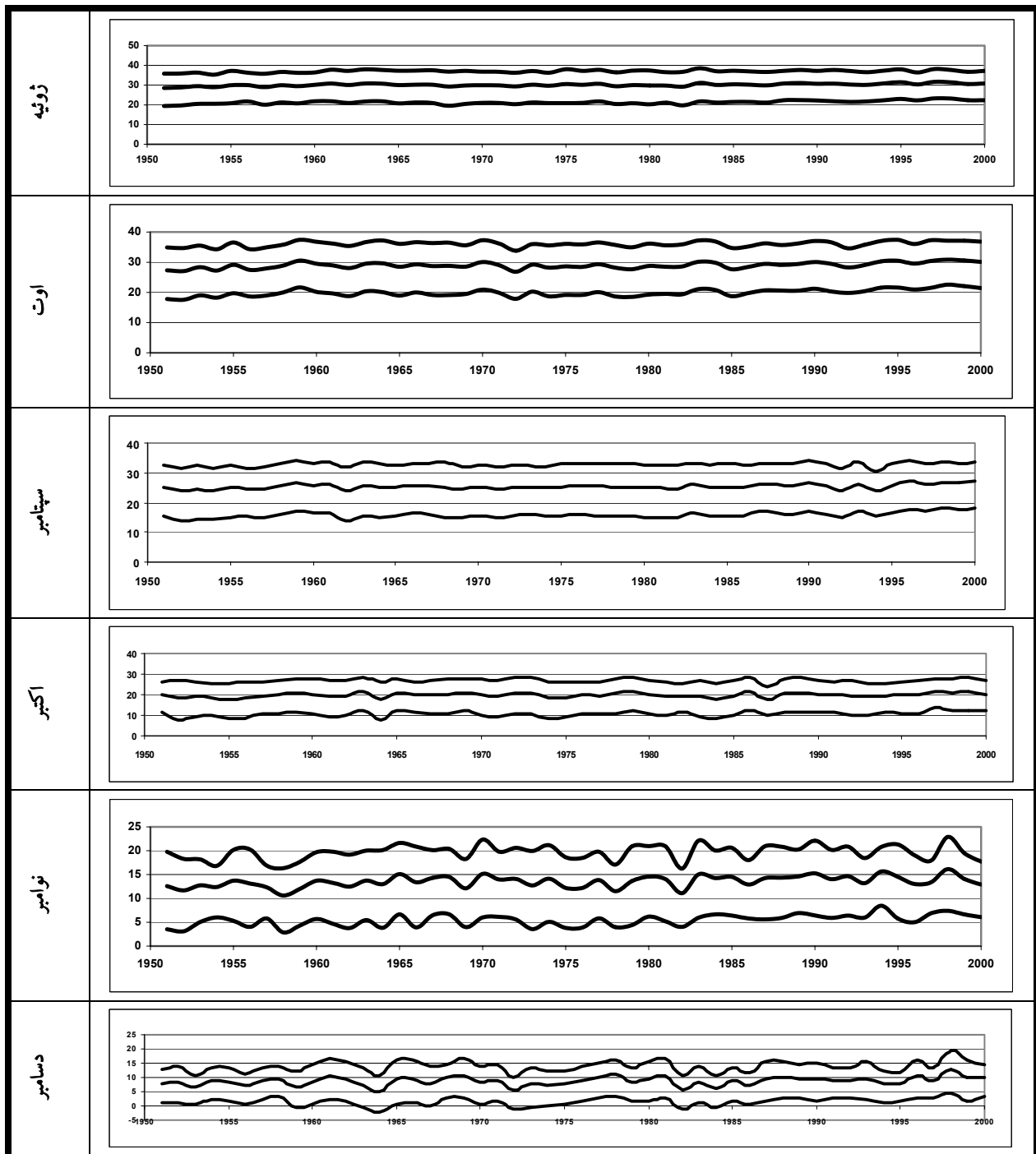
جدول ۱۲- آهنگ تغییرات دمای روزانه ایران بر حسب درجه سلسیوس در سال

	ژانویه	فوریه	مارس	آوریل	می	ژوئن	ژوئیه	اوت	سپتامبر	اکتبر	نوامبر	دسامبر	سالانه
میانگین روند	۰,۰	-۰,۰۱	-۰,۰۲	۰,۰۴	۰,۰۳	۰,۰۳	۰,۰۲	۰,۰۲	۰,۰۲	۰,۰	۰,۰۳	۰,۰۲	۰,۰۱

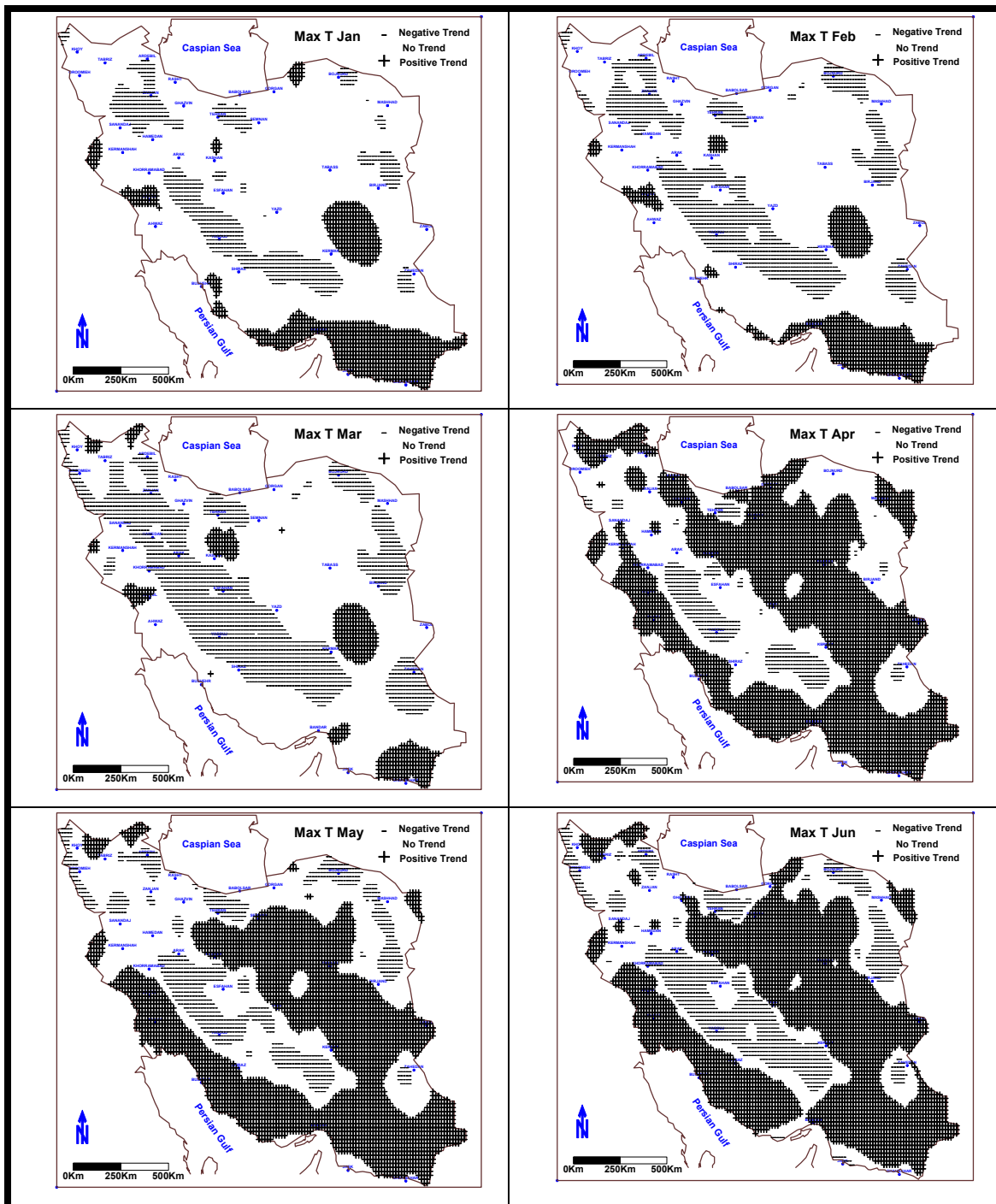
نمودار ۱- سری زمانی دمای شبانه، شبانه روزی و روزانه ایران در نیم سده گذشته (شش ماهه اول)



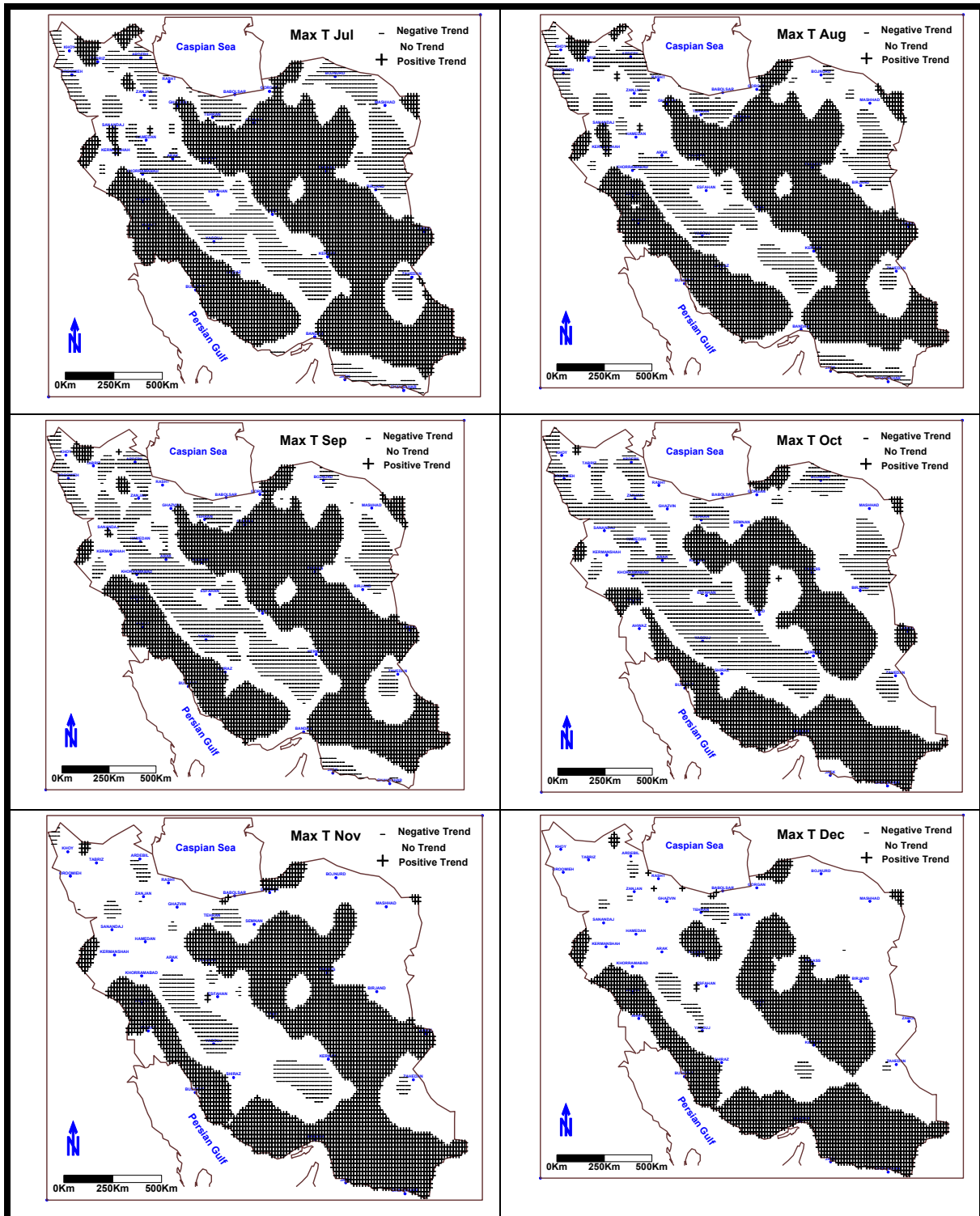
نمودار ۲- سری زمانی دمای شبانه، شبانه روزی و روزانه ایران در نیم سده گذشته (شش ماهه اول)



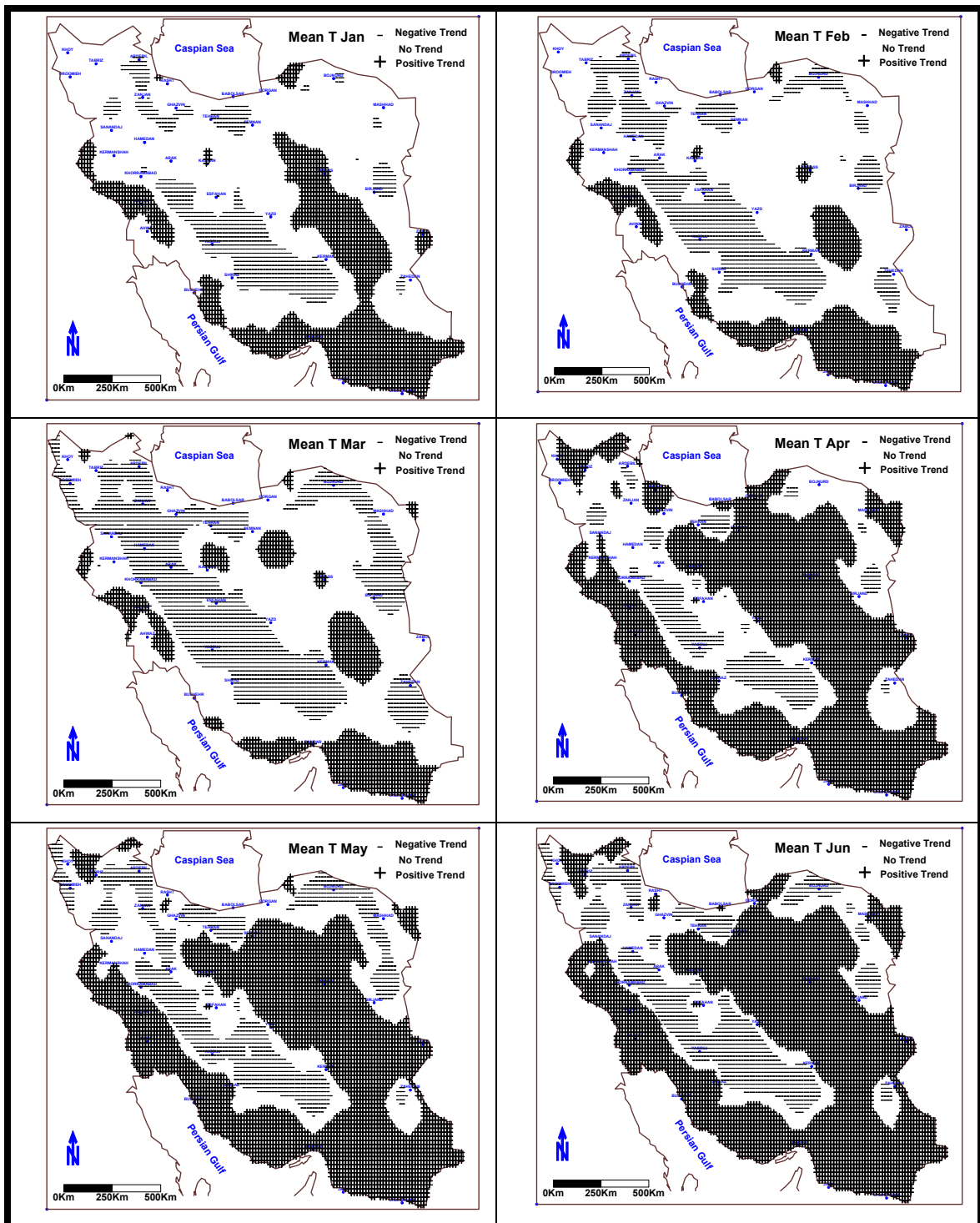
نقشه ۱- مناطقی از ایران که دمای روزانه آنها در نیم سده گذشته با اطمینان ۹۵ درصد روند داشته است (شش ماهه اول)



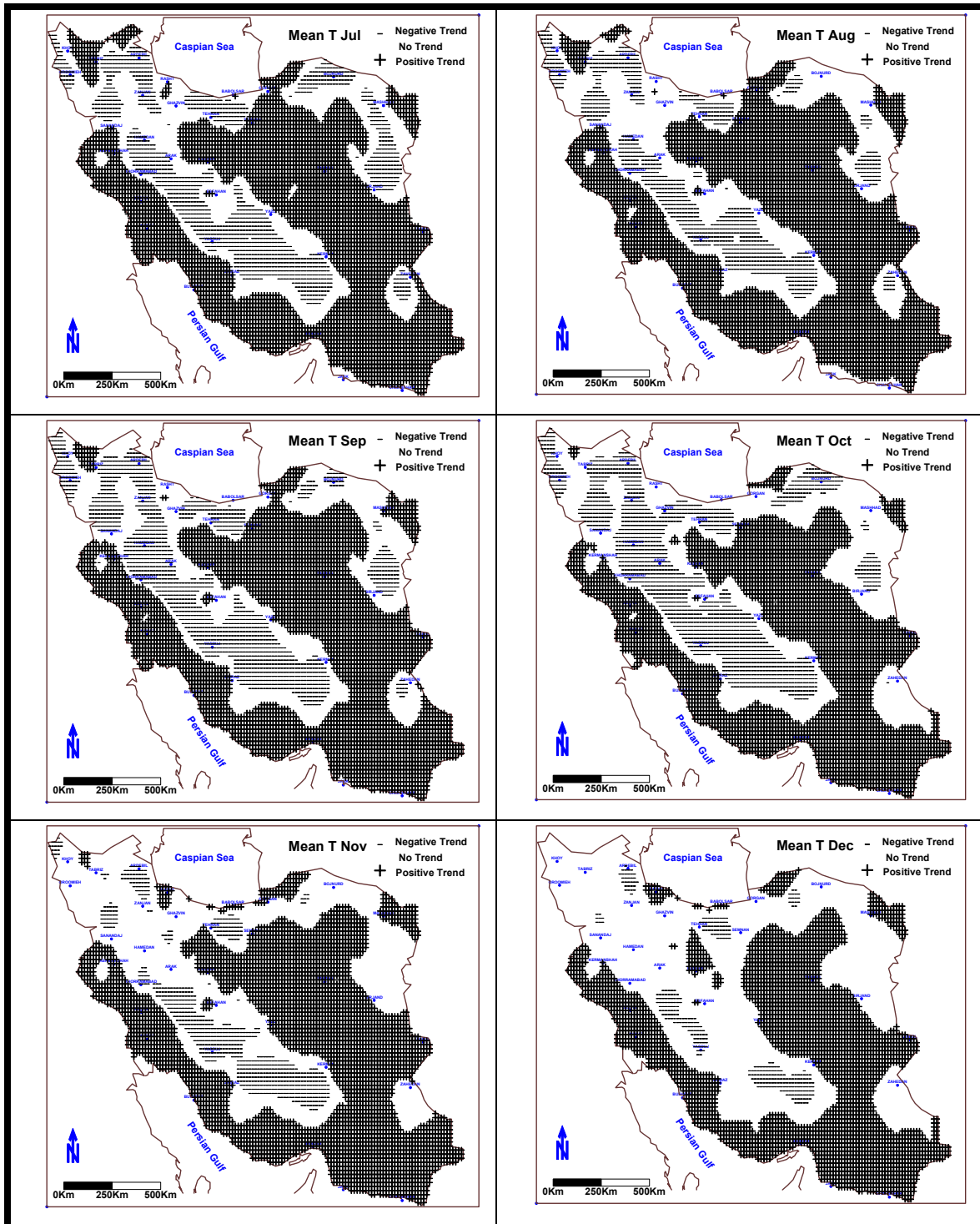
نقشه ۲- مناطقی از ایران که دمای روزانه آنها در نیم سده گذشته با اطمینان ۹۵ درصد روند داشته است (شش ماهه دوم)



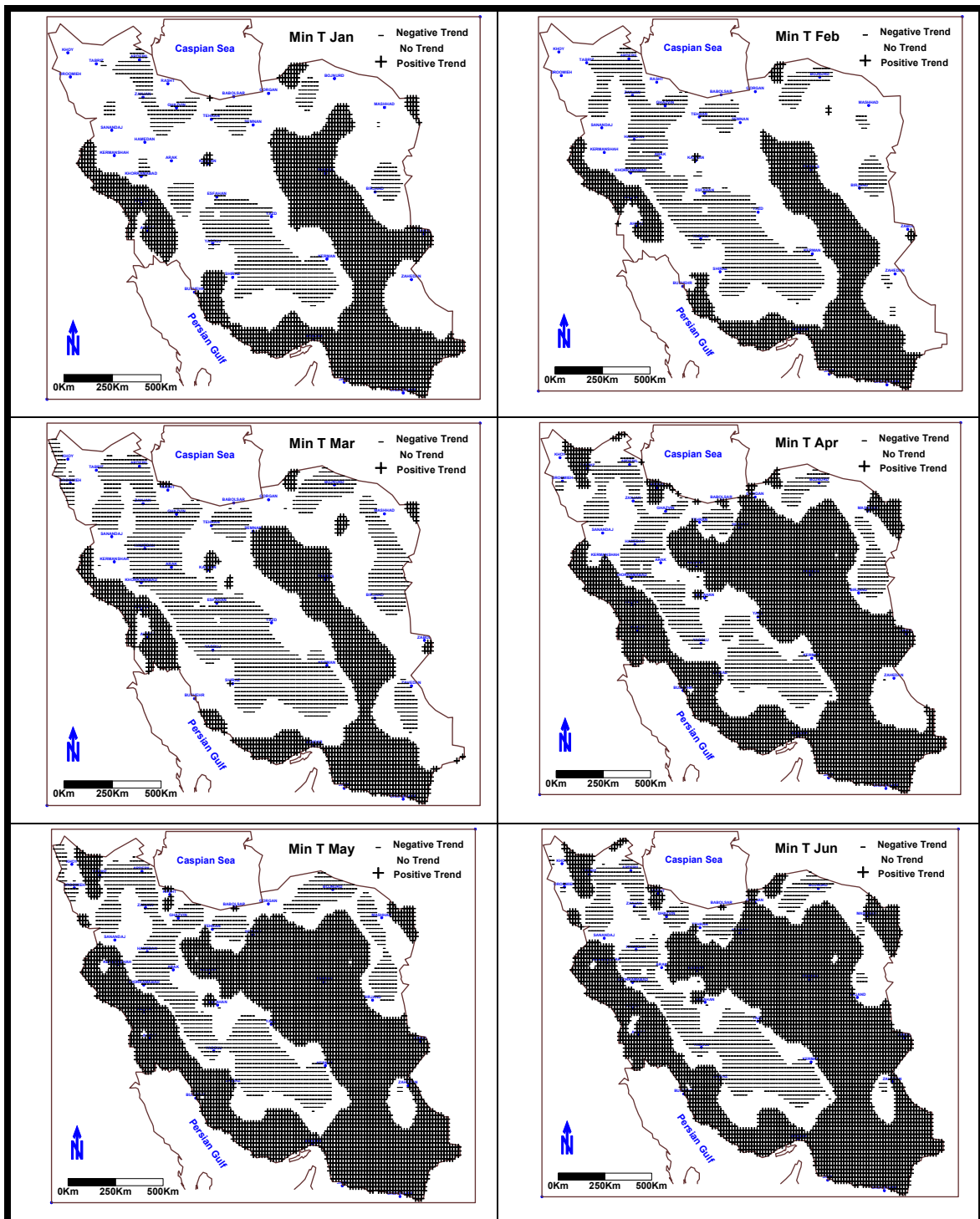
نقشه ۳- مناطقی از ایران که دمای شباه روزی آنها در نیم سده گذشته با اطمینان ۹۵ درصد روند داشته است (شش ماهه اول)



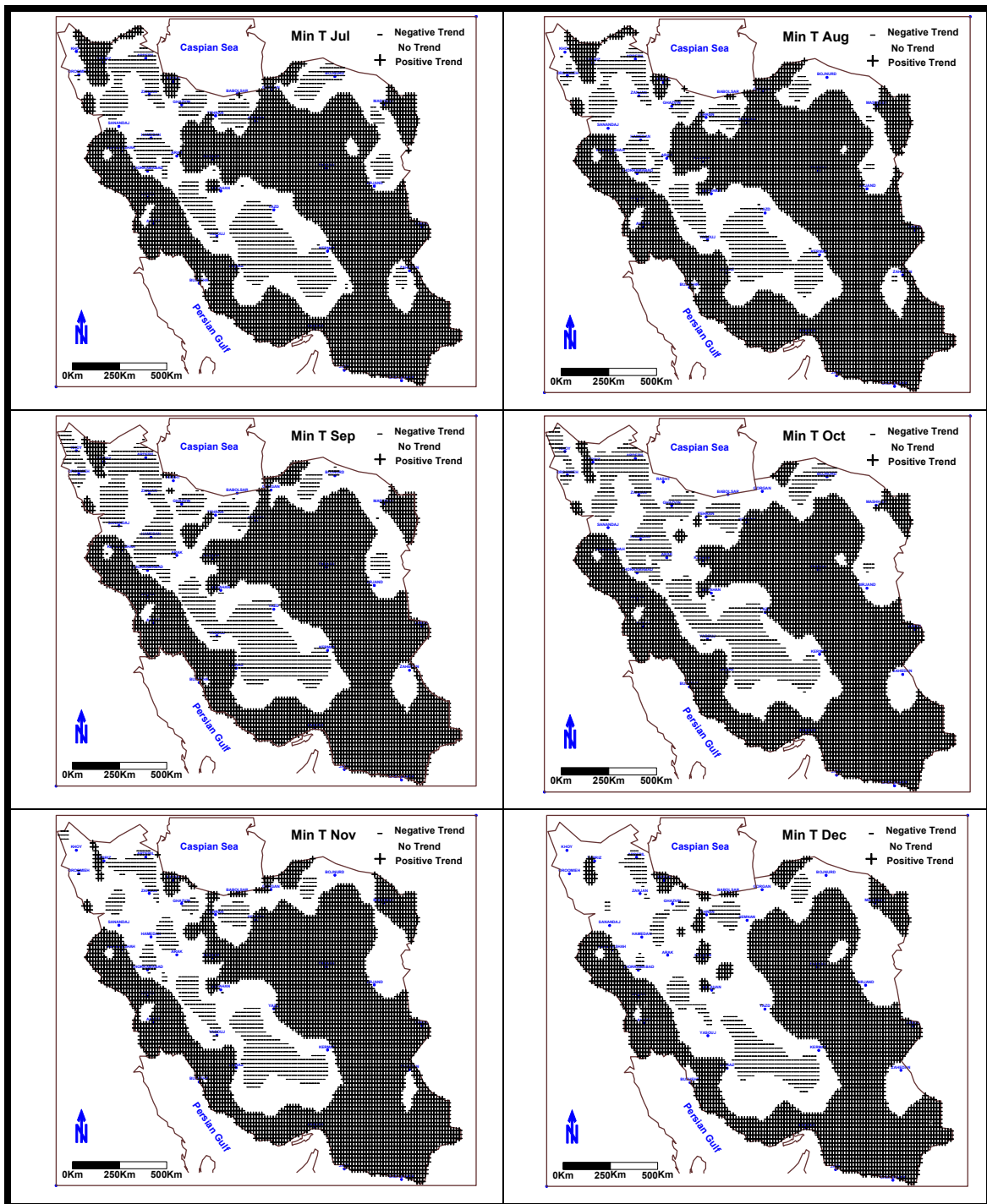
نقشه‌های ۶- مناطقی از ایران که دمای شبانه روزی آنها در نیم سده گذشته با اطمینان ۹۵ درصد روند داشته است (شش ماهه دوم)



نقشه ۵- مناطقی از ایران که دمای شبانه آنها در نیم سده گذشته با اطمینان ۹۵ درصد روند داشته است (شش ماهه اول)



نقشه - ۶- مناطقی از ایران که دمای شبانه آنها در نیم سده گذشته با اطمینان ۹۵ درصد روند داشته است (شش ماهه دوم)



## منابع و مأخذ:

- ۱- حیدری حسن، علیجانی، بهلول (۱۳۷۸)، طبقه بندی اقلیمی ایران با استفاده از تکنیک های آماری چند متغیره، پژوهش های جغرافیایی، شماره ۳۷، صص ۷۴-۵۷.
- ۲- علیجانی، بهلول ، احمدی م. (۱۳۷۵)، تعیین شاخص آسایش اقلیمی در تهران، مجله علوم انسانی دانشگاه تربیت معلم، شماره ۹-۱۰-۱۱ صص ۱۴۳-۱۲۷.
- ۳- علیجانی، بهلول (۱۳۷۲)، تعیین نواحی گرمایی آذربایجان به روش تحلیل خوشه ای، مجله علوم انسانی دانشگاه تربیت معلم، شماره ۲-۳ صص ۱۰۴-۸۷.
- ۴- علیجانی، بهلول (۱۳۶۹)، تشکیل پرفشار سیری و اثر آن بر اقلیم شمالشرق ایران، فصلنامه تحقیقات جغرافیایی، شماره ۱۷، صص ۵۱-۴۱.
- ۵- علیجانی، بهلول (۱۳۷۷)، فصول طبیعی ایران، پژوهش های جغرافیایی، شماره ۳۵، صص ۳۳-۲۱.
- 6- Alijani, B. (2002) Variations of 500 hpa Flow Patterns over Iran and Surrounding Areas and Their Relationship with The Climate of Iran, *Theoretical and Applied Climatology*, 72, 41-54
- 7- Bhattacharyya Gouri K., Richard A. Johnson (1977), *Statistical concepts and methods*, John Wiley and Sons.
- 8- Chung Y. S., M. B. Yoon (2000), Interpretation of recent temperature and precipitation trends observed in Korea, *Theor. Appl. Climatol.* 67, 171–180
- 9- Grieser J., S. Tromel, C.D. Schonwiese (2002), Statistical time series decomposition into significant components and application to European temperature, *Theor. Appl. Climatol.* 71, PP. 171-183
- 10- Kass E, Frich P (1995) Daily temperature range and cloud cover in the Nordic countries: observed trends and estimates for the future. *Atmos Res* 37: 211–228
- 11- Kothyari UC, Singh VP (1996) Rainfall and temperature trends in India. *Hydrological Processes* 10: 357–372
- 12- Maheras P, Xoplaki E, Davies T, Martin-Vide J, Bariendos M, Alcoforado MJ (1999) Warm and cold monthly anomalies across the Mediterranean basin and their relationship with circulation; 1860–1990. *Int J Climatol* 19:1697–1715
- 13- Niedzwiedz T, Ustrnul Z, Szalai S, Weber RO (1996) Trends of maximum and minimum daily temperatures in central and southeastern Europe. *Int J Climatol* 16:765–782
- 14- Onate JJ, Pou A (1996) Temperature variations in Spain since 1901: A preliminary analysis. *Int J Climatol* 16:805–815
- 15- Przybylak R (2000) Temporal and spatial variation of surface air temperature over the period of instrumental observations in the Arctic. *Int J Climatol* 20:587–614
- 16- Salinger MJ (1995) Southwest Pacific temperatures: Trends in maximum and minimum temperatures. *Atmos Res* 37:87–99

- 17- Stafford J. M., G. Wendler, J. Curtis (2000), Temperature and precipitation of Alaska: 50 year trend analysis, *Theor. Appl. Climatol.* 67, PP. 33-44
- 18- Vinnikov Konstantin Y. (2002) Trends in moments of climatic indices, *GEOPHYSICAL RESEARCH LETTERS*, VOL. 29, NO. 2:141-144
- 19- Yin ZY (1999) Winter temperature anomalies of the north China plain and macroscale extratropical circulation patterns. *Int J Climatol* 19: 291–308
- 20- Yue S., M. Hashino (2003), Temperature trends in Japan: 1900–1996, *Theor. Appl. Climatol.* 75, 15–27
- 21- Zhang X, Vincent LA, Hogg WD, Niitsoo A (2000) Temperature and precipitation trends in Canada during the 20<sup>th</sup> century. *Atmosphere Ocean* 38(1): 395–429